

## 6.2. PROPAGAREA UNDELOR ELECTROMAGNETICE ÎN SISTEMELE DE RADIORELEE

### 6.2.1. Calculul câmpului electromagnetic în sistemele de radiorelee

#### 6.2.1.1. Aproximarea antenelor ca elemente punctiforme

În calculele legate de câmpul EM, în SRR și SCS se pot introduce simplificări datorită dimensiunilor neglijabile ale antenelor față de distanțele dintre stații (zeci de km în SRR, sute ... mii de km în SCS).

Fie o antenă emisivă filiformă AB cu lungimea  $l$ , la distanța  $d$  de receptorul punctiform R – fig. 6.11.

Câmpul în R este suma câmpurilor create de elementele emise ale antenei și care ajung în R cu faze diferite în funcție de diferența dintre drumurile parcurse: distanța AR este mai mare decât CR =  $d$ . Evident:

$$AR^2 - CR^2 = AR^2 - d^2 = AC^2 = (l/2)^2$$

$AR^2 - d^2 = (AR - d) \cdot (AR + d) = \Delta d \cdot 2d$ , ( $\Delta d$  este diferența de drum) de unde diferența de drum și defazajul sunt:

$$\Delta d = l^2/8d \quad \Delta\varphi = 2\pi \Delta d/\lambda = 2\pi(l^2/8d\lambda) \quad (6.34)$$

Dacă  $\Delta d$  este mică față de lungimea de undă, diferența de drum introduce un defazaj neglijabil și oscilațiile pot fi considerate în fază (se adună algebric). De obicei se admite că defazaje sub  $\approx 20^\circ$  se pot neglija; pentru  $\Delta d = \lambda/16$  rezultă  $\Delta\varphi = \pi/8 = 22,5^\circ$ . Așadar, condiția pentru neglijarea efectelor diferenței de drum este:

$$\Delta d \leq \lambda/16 \quad \text{sau} \quad d \geq 2l^2/\lambda \quad (\text{în acest caz } \Delta\varphi \leq \pi/8) \quad (6.35)$$

Cu (6.34) realizată, se poate admite că antena emisivă este punctuală și ca urmare, suprafețele de undă sunt sferice. Aceasta nu înseamnă că amplitudinile oscilațiilor sunt aceleași pe direcții diferite. Antenele fiind directive, pe direcții diferite, la aceeași distanță de sursă amplitudinile oscilațiilor sunt diferite, dar frontul de undă în locul de amplasare al antenei receptoare este practic sferic.

Se va arăta că antena receptoare plasată la distanță mare de emițător sesizează frontul de undă ca fiind plan. În adevăr, antena receptoare fiind cu extremitățile în A și B – fig. 6.12, diferența de fază dintre oscilațiile de pe frontul de undă sferic ADC și oscilațiile de pe planul ACD este neglijabilă. Diferența de fază dintre oscilațiile din C și D este determinată de diferența de drum  $\Delta d = CD$ . Calculând ca mai sus, condiția ca diferența de fază să fie neglijabilă ( $\leq 22^\circ$ ) rezultă sub forma (6.34).

În SRR și SCS frecvențele utilizate sunt 1 ... 25GHz, deci  $\lambda = 0.3 \dots 0.012$  și  $\lambda^2/16 = 0,0188 \dots 7,5 \cdot 10^{-4}$ . Dimensiunile antenelor sunt în acord cu frecvențele:  $l = 10 \dots 0,5\text{m}$ . Distanțele dintre stații sunt: în SRR  $d = 30 \dots 120\text{km}$ , în SCS  $d = 500 \dots 35000\text{km}$ . Rezultă, pentru SRR  $\Delta d = 4 \cdot 10^{-4} \dots 10^{-6}$  iar pentru SCS cu cel puțin un ordin de mărime mai mici, satisfăcând condiția (6.35)

#### 6.2.1.2. Calculul câmpului electromagnetic

Considerând o antenă de emisie cu câștig  $G_E$ , la distanța  $d$  densitatea de putere  $p$  este:

$$p = \frac{P_E G_E}{4\pi d^2} \quad (P_E - \text{puterea de emisie}) \quad (6.36)$$

Densitatea de putere se poate exprima și în funcție de valorile eficace ale intensității câmpului electric ( $E_{ef}$ ) și magnetic ( $H_{ef}$ ) prin modulul vectorului Poyting:

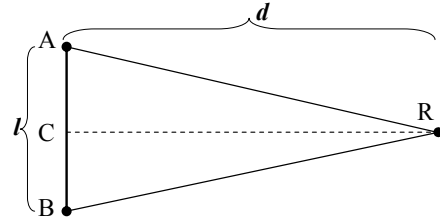


Fig. 6.11 Antenă emisivă filiformă

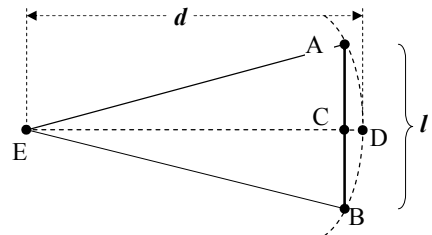


Fig. 6.12 Antenă de recepție

$$p = \frac{c}{2} (\epsilon E_{ef}^2 + \mu H_{ef}^2) \quad (\epsilon, \mu - \text{permitivitatea și permeabilitatea mediului, } c - \text{viteza UEM}) \quad (6.37)$$

Știind că  $c = 1/\sqrt{\epsilon\mu}$  iar *impedanța de undă*  $Z$  este:

$$Z = E_{ef} / H_{ef} = \sqrt{\mu/\epsilon}, \quad \text{în vid } Z_0 = \sqrt{\mu_0/\epsilon_0} = 377\Omega \quad (6.38)$$

din (6.37) rezultă:

$$p = E_{ef}^2 / Z = E^2 / 2Z \quad (E - \text{amplitudinea}) \quad (6.39)$$

Din (6.36) și (6.39) se obține amplitudinea câmpului electric generat de antena emisivă:

$$E = \sqrt{\frac{P_E G_E Z}{2\pi d^2}} \quad \text{în vid } E_0 = \frac{1}{d} \sqrt{60 P_E G_E} \quad (6.40)$$

### 6.2.1.3. Efectele interferenței cu undele reflectate în cazul Pământului plan

Dacă distanța dintre stații nu este prea mare, se poate considera Pământul plan.

Reflexiile fiind inevitabile, în calculul câmpului la receptor (R) trebuie considerate și undele reflectate. Cel mai simplu caz apare în fig. 6.13: unda directă ER interferează cu unda reflectată EAR.

Considerând unda directă (ER) origine de fază cu amplitudinea  $E_1$ , oscilația în R este:

$$e_1(t) = E_1 \cos \omega t.$$

Reflexia -schimbarea direcției de propagare, este însoțită de scăderea amplitudinii și de modificarea fazei undei reflectate, adică *coeficientul de reflexie* este complex, de forma:

$$\rho = |\rho| e^{-j\beta}$$

Ca urmare, oscilația reflectată este, în punctul de reflexie:

$$\bar{E}_{\text{Areflectat}} = \bar{E}_{\text{Aincident}} |\rho| e^{-j\beta}$$

Unda reflectată ajunge în R prin A cu amplitudinea  $|\rho|E_1$  (se poate considera că variația de amplitudine se datorează numai reflexiei, nu și creșterii, nesemnificative, a distanței parcurse) și cu defazajul suplimentar  $\beta$  introdus la reflexie, după ce parcurge drumul  $d_2$ :  $d_2 = RE' = EA + AR$ , deci cu o diferență de drum  $\Delta d$  și eventual; oscilația reflectată în R este deci:

$$e_2(t) = |\rho| E_1 \cos(\omega t - \beta - 2\pi \Delta d / \lambda)$$

Cele două oscilații se sumează vectorial (fig. 6.16.b):

$$E_r = \sqrt{E_1^2 + (|\rho|E_1)^2 + 2E_1|\rho|E_1 \cos(\beta + 2\pi \Delta d / \lambda)} = E_1 \sqrt{1 + |\rho|^2 + 2|\rho| \cos(\beta + 2\pi \Delta d / \lambda)}$$

În funcție de defazajul total  $\beta + 2\pi \Delta d / \lambda$ , amplitudinea rezultantei  $E_r$  variază între limitele:

$$(1 - |\rho|)E_1 \leq E_r \leq (1 + |\rho|)E_1 \quad \text{și pentru } |\rho| \approx 1 \text{ este } 0 \leq E_r \leq 2E_1.$$

Coeficientul de reflexie depinde de natura suprafeței reflectante, de polarizarea și frecvența undelor și de unghiul de incidență. De regulă în SRR unghiurile de incidență sunt foarte mici (sub  $1^\circ \dots 2^\circ$ ) și în aceste cazuri polarizarea are efecte neglijabile; pentru soluri umede  $|\rho| = 0.8 \dots 0.95$  și  $\beta \approx 180^\circ$ ; pentru apa mării  $|\rho| \approx 1$ .

Cu bună aproximație se poate considera  $\beta \approx 180^\circ$  și  $|\rho| \approx 1$  deci:

$$E_r = E_1 \sqrt{2} \sqrt{1 - \cos(2\pi \Delta d / \lambda)} = E_1 \sqrt{2} \sqrt{2(\sin^2(2\pi \Delta d / 2\lambda))} = 2E_1 \sin(\pi \Delta d / \lambda)$$

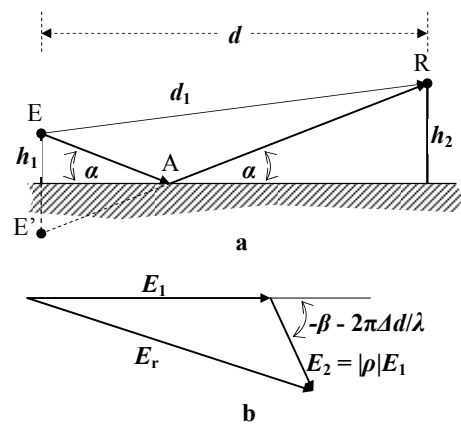


Fig. 6.16. Reflexie în propagarea UEM (a) și compunerea vectorilor câmpului (b)

Rezultatul interferenței este variația nivelului semnalului recepționat între limite prea largi pentru a fi compensat de circuitul de RAA.

Considerând antenele situate la  $h_1$  și  $h_2$ , diferența de drum rezultă:

$$\Delta d = d_2 - d_1 = \sqrt{d^2 + (h_2 + h_1)^2} - \sqrt{d^2 + (h_2 - h_1)^2} = d \left[ \sqrt{1 + \left(\frac{h_2 + h_1}{d}\right)^2} - \sqrt{1 + \left(\frac{h_2 - h_1}{d}\right)^2} \right]$$

$$\Delta d = d_2 - d_1 = \sqrt{d^2 + (h_2 + h_1)^2} - \sqrt{d^2 + (h_2 - h_1)^2} = d \left[ \sqrt{1 + \left(\frac{h_2 + h_1}{d}\right)^2} - \sqrt{1 + \left(\frac{h_2 - h_1}{d}\right)^2} \right]$$

$$\Delta d \approx d \left( 1 + \frac{1}{2} \left(\frac{h_2 + h_1}{d}\right)^2 - 1 - \frac{1}{2} \left(\frac{h_2 - h_1}{d}\right)^2 \right) = \frac{2h_1 h_2}{d}$$

Deoarece  $\Delta d$  este mic, cazul cel mai defavorabil este atunci când  $|\rho| \approx 1$  și  $\beta \approx 180^\circ$ , situația frecventă în SRR. În acest caz, amplitudinea rezultantă este de forma:

$$E_r = 2E_1 \sin \frac{\pi \Delta d}{\lambda} = 2E_1 \sin 2\pi \frac{h_1 h_2}{\lambda d} = \frac{2}{d} \sqrt{60 P_E G_E} \sin 2\pi \frac{h_1 h_2}{\lambda d} \quad (6.41)$$

Pentru  $\Delta d = k\lambda$ ,  $2h_1 h_2 / d = k\lambda$  ( $k = 1, 2, \dots$ ) semnalul rezultat se anulează (extincție).

În ultima relație nu s-a ținut seama că intensitatea câmpului radiat pe direcții diferite este diferită (directivitatea antenei):  $E$  pe direcția ER diferă față de cel emis pe direcția EA. Eroarea comisă astfel este însă destul de mică, chiar pentru antene foarte directive deoarece  $d \gg h_1, h_2$  și ca urmare unghiul dintre EA și ER este foarte mic, apropiat de unghiul de deschidere al antenelor (minute ... zeci de minute).

Reducerea sau chiar eliminarea efectelor reflexiilor se poate face rotind foarte puțin antenele (în plan vertical), fără o diminuare sensibilă a câștigurilor. Afirmația se justifică mai jos.

Diagrama de directivitate a unei antene arată cam ca în fig. 6.14, în care se observă că:

- pentru unghiuri sub valoarea de deschidere ( $\theta_0$ ), câștigul  $G_E(\theta)$  variază lent cu  $\theta$  ( $\theta_0$  este de câteva minute de arc);
- pentru unghiuri mai mari ca  $\theta_0$ ,  $G_E(\theta)$  scade repede cu  $\theta$ ;
- pentru unghiuri mai mari ca  $\theta_M$ ,  $G_E(\theta)$  este practic nul ( $\theta_M$  este de ordinul a  $1^\circ$ ).

Există tentația de a orienta antenele pe direcția de câștig maxim, ca în fig. 6.15.a. În acest caz interferența cu reflectata poate diminua mult câmpul recepționat. Ținând seama de observațiile de mai sus, este utilă rotirea în plan vertical cu unghiuri foarte mici (secunde – minute) a antenelor, astfel ca unda directă să fie neglijabil redusă, dar reflectata practic să dispară – fig. 6.15.b.

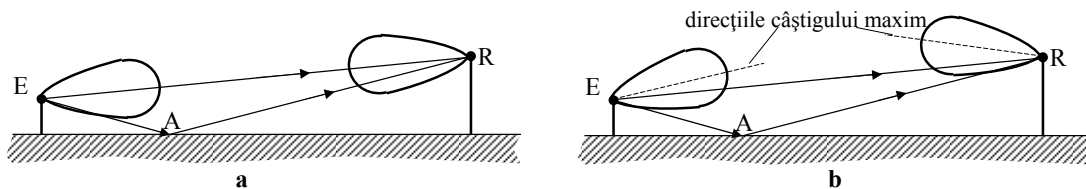


Fig. 6.14. Caracteristica de directivitate a antenei de emisie  $G_E = G_E(\theta)$

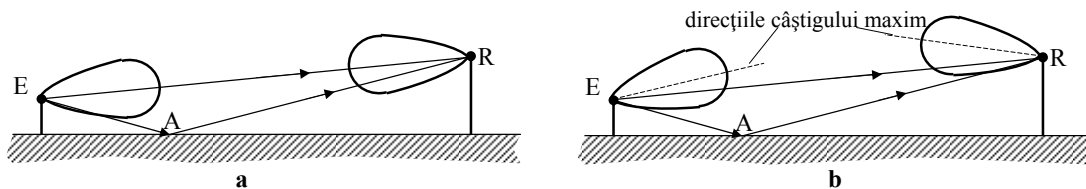


Fig. 6.15. Antene cu direcțiile de câștig maxim coliniare (a) și necoliniare (b)

În discuția de mai sus, suprafața plană considerată este o suprafață de referință, față de care se consideră înălțimile antenelor (în care se includ ridicăturile terestre pe care sunt amplasate). Aproximația plană este rezonabilă pentru distanțe mici (câțiva km).

#### 6.2.1.4. Efectele interferenței cu undele reflectate în cazul Pământului sferic. Reducerea la Pământul plan

Chiar dacă distanța dintre stațiile de RR sunt mici (max. **100 = 120km**) față de raza Pământului (**6400km**), curbura acestuia influențează reflexiile și interferențele. Calcule mai precise se pot face aproximând pământul ca fiind sferic. Practic, se consideră o secțiune prin sfera de referință, față de care se consideră înălțimile antenelor – fig. 6.16.

$EE_2 = h_1$  și  $RR_2 = h_2$  sunt înălțimile antenelor față de cercul de referință.

$d_1 = \lg(\text{arc } E_2A) = R_p \cdot \alpha_1$ ,  $d_2 = \lg(\text{arc } R_2A) = R_p \cdot \alpha_2$ .

În triunghiurile  $OE_1A$  și  $OR_1A$ :

$$\cos \alpha_1 = \frac{R_p}{R_p + \Delta h_1} = \frac{1}{1 + \Delta h_1 / R_p}$$

$$\cos \alpha_2 = \frac{R_p}{R_p + \Delta h_2} = \frac{1}{1 + \Delta h_2 / R_p}$$

$\alpha_1, \alpha_2$  sunt foarte mici și e poate aproxima:

$$\cos \alpha_{1,2} \approx 1 - \alpha_{1,2}^2 / 2$$

Rezultă:

$$\alpha_{1,2} \approx \sqrt{2\Delta h_{1,2} / R_p}, \quad d_{1,2} = \sqrt{2R_p \Delta h_{1,2}}, \quad d = d_1 + d_2 = \sqrt{2R_p} (\Delta h_1 + \Delta h_2) \quad (6.42)$$

Unghiurile  $\alpha_1$  și  $\alpha_2$  sunt foarte mici (de exemplu, pentru  $d = 120\text{km}$ ,  $\alpha_1 + \alpha_2 = 120/6400 = 0.01875\text{rad} = 1,07^\circ$ ) și segmentele  $EE_1$  și  $RR_1$ , cu lungime foarte mică față de  $R_p$  pot fi considerate paralele cu  $OA$ . Prin aceasta, problema sferică se reduce la problema plană: Pământul se consideră plan între punctele  $E_1$  și  $E_2$  plasate la distanța  $d$ ; antenele de consideră verticale, plasate în  $E_1$  și  $E_2$ , cu înălțimile echivalente  $h_{1e} = h_1 - \Delta h_1$  și  $h_{2e} = h_2 - \Delta h_2$ . Cunoscând pozițiile pe teren, se determină  $\alpha_1$  și  $\alpha_2$ , apoi cu (6.42)  $\Delta h_1$  și  $\Delta h_2$ ; înălțimile echivalente  $h_{1e}$  și  $h_{2e}$  se stabilesc pe considerente de propagare (evitarea eventualelor obstacole), eliminare a reflexiilor și posibilități tehnice. Apoi se pot face calculele pentru determinarea câmpului.

#### 6.2.2. Efectele variației indicelui de refracție asupra propagării UEM

Din cauza variației indicelui de refracție<sup>1</sup>  $n = \sqrt{\epsilon_r}$  al atmosferei cu altitudinea, traiectoria UEM nu este o linie greaptă geometric, fiind curbată spre sol și în consecință perturbabilă de către obstacole – fig. 6.17 sau asigurând legătura la o distanță mai mare decât geometric posibilă.

Într-o primă aproximație, se presupune atmosfera formată din straturi sferice cu indici de refracție diferiți; în fig. 6.18 sunt reprezentate patru astfel de straturi, cu indici de refracție:  $n_0 > n_1 > n_2$ . O UEM emisă din  $E$  se refractă în  $E_1, E_2, E_3, \dots$  cu unghiurile din fig. 6.18. Conform legii refracției, în  $E_2$  de exemplu:  $n_1 \sin i_2 = n_2 \sin r_2$ .

Teorema sinusurilor în triunghiul  $OE_1E_2$ :  $\frac{OE_2}{\sin r_1} = \frac{OE_1}{\sin i_2}$ ;  $\frac{R_{p2}}{\sin r_1} = \frac{R_{p1}}{\sin i_2}$ ;  $R_{p2} \sin i_2 = R_{p1} \sin r_1$

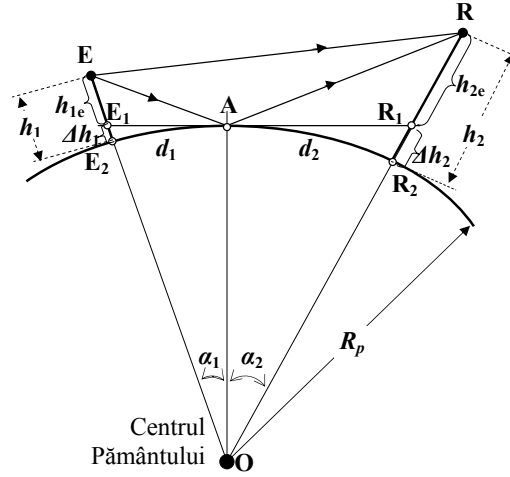


Fig. 6.16. Reflexii în aproximația pământului sferic.

<sup>1</sup> Indicele de refracție optic (pentru spectrul vizibil) al atmosferei standard este:  $n_0 = 1.00029$

$$R_{p2} \frac{n_2}{n_1} \sin r_2 = R_{p1} \sin r_1; \quad R_{p2} n_2 \sin r_2 = R_{p1} n_1 \sin r_1$$

Ultima relație poate fi scrisă în toate punctele de refracție și rezultă:

$$R_{pk} n_k \sin r_k = \dots = R_{p1} n_1 \sin r_1 = R_{p0} n_0 \sin r_0 \quad (6.43)$$

$r_0$  este complementul unghiului de elevație  $\gamma$ .

Indicile de refracție al atmosferei  $n$  este foarte apropiat de 1 și scade aproximativ liniar cu altitudinea  $h$  de valoarea la altitudine nulă  $n_0$  după relația:

$$n = n_0 + \alpha h \quad (\alpha = dn/dh, \quad \alpha < 0)$$

Coefficientul  $\alpha$  depinde de variația presiunii și temperaturii atmosferice după relația semi-empirică:

$$\alpha = \frac{1}{R_p} \left( -0,2 + 30 \frac{dp}{dh} - 6 \frac{dT}{dh} \right)$$

Pentru o atmosferă temperată, curată, cu umiditate redusă – *atmosfera standard*, s-au măsurat:

$$dp/dh \approx -0,0033 \text{ milbar/m} \quad dT/dh \approx 0,009^\circ \text{ C/m}, \quad \text{cu care}$$

$$\alpha \approx \frac{1}{R_p} (-0,2 - 0,1 + 0,05) \approx -\frac{1}{4R_p} \quad (6.45)$$

Relația (6.45) se aplică *atmosfera standard*, în straturi joase ale atmosferei. Local, în funcție de condițiile meteo, poluare etc., atmosfera reală poate să difere mult de aceea standard. Ca urmare, se obișnuiește utilizarea unei relații de tipul (6.45) în care, în locul  $4R_p$ , se introduce  $\rho$  (cu valoarea  $4R_p$  pentru atmosfera standard):

$$n = n_0 - \frac{h}{\rho} = n_0 \left( 1 - \frac{h}{n_0 \rho} \right) \approx n_0 \left( 1 - \frac{h}{\rho} \right) \quad (-1/\rho \text{ este gradientul indicelui de refracție}) \quad (6.46)$$

Pe de altă parte, știind că stratul cu indice  $n$  are raza  $R_p = R_{p0} + h$ , din (6.43) rezultă:

$$R_{p0} n_0 \sin r_0 = (R_{p0} + h) n_0 \left( 1 - \frac{h}{\rho} \right) \sin r; \quad \sin r_0 = \left( 1 + \frac{h}{R_{p0}} \right) \left( 1 - \frac{h}{\rho} \right) n_0 \sin r. \text{ Neglijând } \frac{h^2}{R_{p0} \rho} :$$

$$\left[ 1 + h \left( \frac{1}{R_{p0}} - \frac{1}{\rho} \right) \right] \sin r = \sin r_0 \quad (6.47)$$

Deoarece în calcule este greu de luat în considerație curbarea traiectoriei datorată refracției, se introduce noțiunea de *rază echivalentă* ca mai jos.

Dacă  $n$  ar fi constant, UEM s-ar propaga în linie dreaptă,  $1/\rho = 0$  și (6.47) devine:

$$\left( 1 + \frac{h}{R_{p0}} \right) \sin r = \sin r_0 \quad (n = \text{constant}) \quad (6.48)$$

Se observă că, înlocuind în (6.47) expresia dintre parantezele rotunde cu o *rază echivalentă*  $R_{pech}$ , se obține o relație asemănătoare cu (6.48):

$$\left( 1 + \frac{h}{R_{pech}} \right) \sin r = \sin r_0, \quad \frac{1}{R_{pech}} = \frac{1}{R_{p0}} - \frac{1}{\rho} \quad (\rho_{atm. standard} = 4R_{p0}) \quad (6.49)$$

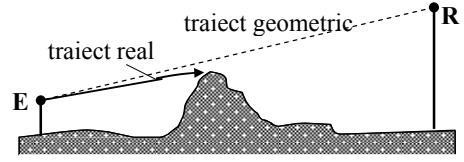


Fig. 6.17. Curbarea traiectoriei UEM datorită variației indicelui de refracție

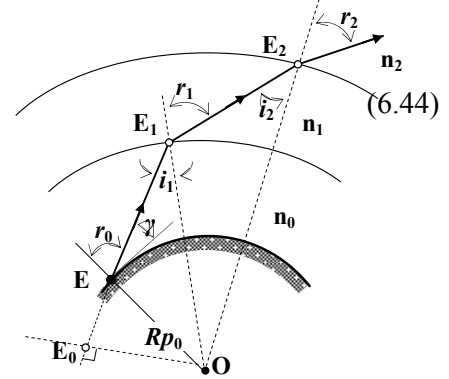


Fig. 6.18. Refracția prin straturi atmosferice succesive

Aceasta înseamnă că propagarea ne-rectilinie a UEM (mediu cu  $n$  variabil) este înlocuită cu propagarea rectilinie (mediu cu  $n = n_0 = \text{constant}$ ).

Se va observa că pentru atmosfera standard:  $R_{pech} = 4R_{p0}/3 = 4 \cdot 6374/3 = 8499 \text{ km} \approx 8500 \text{ km}$ .

Pentru o atmosferă reală:

$$R_{pech} = KR_{p0} \quad K \text{ este indicele troposferic} \quad (6.50)$$

$K = 4/3$  în atmosfera standard;

$K > 4/3$  în atmosferă suprastandard;

$K < 4/3$  în atmosferă substandard.

Pentru calcule, în SRR se folosește indicele de refracție modificat  $N$  definit ca:

$$N = n + \frac{h}{R_{p0}} = n_0 + \frac{h}{R_{pech}} \quad (6.51)$$

și modulul de refracție  $M$  (măsură a excesului față de 1 a lui  $n_0$ , foarte apropiat de 1):

$$M = (N - 1) \cdot 10^6 = \left( n_0 - 1 + \frac{h}{R_{pech}} \right) \cdot 10^6 \quad (\text{ppm, milionimi}) \quad (6.52)$$

Intreaga discuție de mai sus justifică considerarea propagării rectilinii a UEM într-un sistem cu Pământul sferic având raza echivalentă (6.50), în care  $K$  este determinat experimental iar calculele se fac pentru atmosfera standard și se verifică pentru cazurile reale extreme (cel mai mic și cel mai mare  $K$ ).

Se va observa că datorită curbării traiectoriei UEM, *orizontul radio* este mai îndepărtat decât *orizontul geometric*. Altfel spus, distanța maxim posibilă dintre două stații este în mod real mai mare decât aceea geometric posibilă. În adevăr, distanța geometrică maximă dintre două stații este:  $d_{geom \max} = \alpha R_{p0}$  iar distanța radio maximă este  $d_{radio \max} = \alpha_{ech} R_{pech} = \alpha_{ech} KR_{p0}$  - fig. 6.19. Se observă că:

$$\cos \frac{\alpha_{ech}}{2} = \frac{R_{pech}}{R_{pech} + h} \approx 1 - \frac{(\alpha_{ech}/2)^2}{2} = 1 - \frac{\alpha_{ech}^2}{8} \quad (\alpha_{ech} \approx 1)$$

$$\frac{R_{pech}}{R_{pech} + h} \approx 1 - \frac{h}{R_{pech}} \quad (h \ll R_{pech})$$

$$\alpha_{ech} \approx 2\sqrt{2h/R_{pech}} = 2\sqrt{2h/KR_{p0}}$$

$$\text{Analog, pentru } d_{geom}: \alpha \approx 2\sqrt{2h/R_{p0}}$$

Rezultă:

$$\frac{d_{radio \max}}{d_{geom \max}} = \sqrt{K} \quad (6.53)$$

Pentru  $K = 4/3$ , se obține  $d_{radio \max}/d_{geom \max} = 1,15$ , o creștere cu 15% a distanței de legătură (în ipoteza lipsei oricăror obstacole).

**Propagarea UEM în atmosfera reală** diferă, uneori destul de mult, de propagarea în atmosfera standard.

Intr-o atmosferă standard indicele de refracție scade uniform cu înălțimea pe seama scăderii temperaturii și a presiunii (concentrației) vaporilor de apă, deci modulul de refracție crește liniar (fig. 6.20.a), cu un gradient  $dM/dh$ :  $dM/dh = 10^6 h/R_{pech} = 10^6 h/KR_{p0}$ ,  $K_{atm. \text{ standard}} = 4/3$

În situații reale,  $K$  diferă de valoarea standard, de regulă în straturile joase ale atmosferei, influențate de precipitații, natura solului, radiația termică a solului, evaporare, activitate industrială.

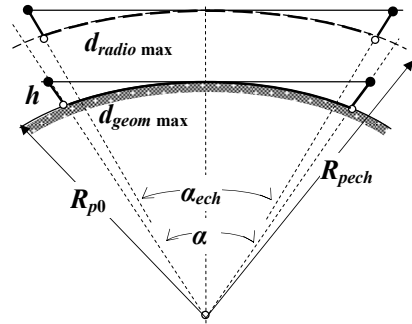


Fig. 6.19. Creșterea distanței radio față de distanța geometrică



$$\cos \alpha = \sqrt{1 - \sin^2 \alpha} \approx \sqrt{1 - \alpha^2} \approx 1 - \frac{\alpha^2}{2} = 1 - \frac{1}{2} \left( \frac{x_1}{R_{pech}} \right)^2 = \frac{MA}{MO} = \frac{R_{pech}}{R_{pech} + y_1} \approx 1 - \frac{y_1}{R_{pech}}, \text{ de unde:}$$

$$y_1 = \frac{x_1^2}{2R_{pech}}, \text{ sau pentru orice } x: \quad y = \frac{x^2}{2R_{pech}} \quad (6.54)$$

Relația (6.54) este ecuația unei parabole care, trecând prin originea coordonatelor, este *parabola de referință* – fig. 6.20.

Următoarea etapă constă în trasarea unui sistem de referință parabolic ca în fig. 6.22 în care pe verticală apare altitudinea. În acest sistem se trasează profilul terenului folosind o hartă topografică ca aceea din fig. 6.21 (scară 1:100000, ...), cu linii de nivel.

Fie două stații  $R_{pech}$  între care trebuie stabilită o legătură de radioreleu, direct sau prin stații intermediare. Între  $S_1$  și  $S_2$  figurate pe hartă, traseul poate fi o linie dreaptă (ca în fig. 6.21) sau mai multe linii frânte.

Folosind (6.50), adoptând un  $K$ , se determină  $R_{pech}$ ; de regulă, în faza inițială se consideră atmosfera standard ( $K = 4/3$ ,  $R_{pech} = 8500\text{km}$ ) pentru care există trasate rețele de coordonate parabolice după (6.54). În acest sistem se trasează profilul terenului din secțiunea prin  $S_1S_2$  ca în fig. 6.23, în care s-a ales originea cam la mijlocul distanței  $S_1S_2$ .

Având profilul traseului, se pot alege amplasamentele stațiilor și înălțimea antenelor astfel ca traiectele (rectilinii) să nu intersecteze obstacole.

În continuare, adoptând valorile extreme previzibile în zonă ale indicelui troposferic  $K$ , se retrasează sistemul de coordonate parabolice și se studiază propagarea.

Efectele obstacolelor se apreciază folosind teoria *elipsoizilor Fresnel* care va fi detaliată în §6.6.4. Deocamdată se menționează că, pentru evitarea interferenței cu unda reflectată este bine ca măcar primul elipsoid să fie complet degajat. Deoarece adesea aceasta este o condiție prea restrictivă, se acceptă interferențe cu unde defazate cu cel mult  $\pi/4$ .

## 6.2.4. Elipsoizii Fresnel

În propagarea UEM unul dintre cele mai importante efecte este *difracția* pe obstacolele din teren. Efectele difracției se determină pe baza mecanismului de propagare a undelor Huygens – Fresnel. Potrivit acestui principiu, undele se propagă prin suprafețe de undă<sup>1</sup>. Punctele, elementele de suprafață ale unui front de undă se comportă ca oscilatori elementari, emițând unde cu fronturi semisferice pe direcția de propagare; noul front de undă este înfășurătoarea fronturilor elementare.

Se consideră o sursă punctuală izotropă, în mediu izotrop. Suprafața de undă la un moment  $t$  este  $\Sigma_t$ . Elementele de suprafață de pe  $\Sigma_t$ ,  $d\sigma_1$ ,  $d\sigma_2$ , ... generează suprafețele elementare semisferice

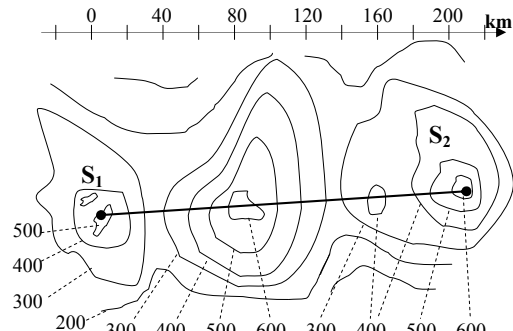


Fig. 6.22. Fragment de hartă topografică pentru stabilirea legăturii prin radioreleu

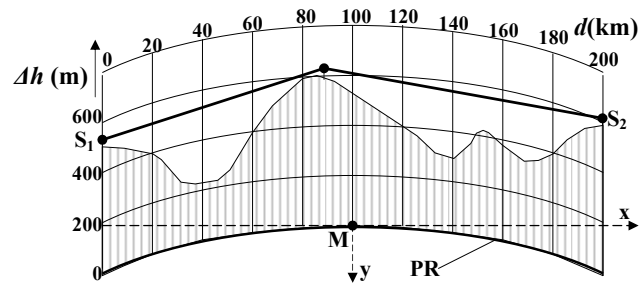


Fig. 6.23. Secțiune prin teren (profilul traseului) în coordonate față de parabola de referință (PR)

<sup>1</sup> *Front (suprafață) de undă* – locul geometric al punctelor atinse de undă și care oscilează în fază.



care la momentul  $t + \Delta t$  sunt  $d\Sigma_1, d\Sigma_2, \dots$ ; înfășurătoarea acestora este frontul de undă rezultant  $\Sigma_{t+\Delta t}$  – fig. 6.24.

Fie o sursă punctuală  $S$ , un receptor punctual  $R$  și o suprafață de undă sferică  $\Sigma$  produsă de  $S$  la un moment dat – fig. 6.24. Interpretând modul de propagare al undelor Huygens – Fresnel, rezultă că oscilația rezultantă în  $R$  este suma vectorială a oscilațiilor generate de punctele suprafeței de undă  $\Sigma$ .

Se consideră oscilația în  $R$  datorată unei din  $P_0, E_0 \cos \omega t$ , origine de fază. Oscilația în  $R$  datorată unei din  $P, E \cos(\omega t + \Delta \varphi)$ , este defazată față de origine cu  $\Delta \varphi = 2\pi \Delta d / \lambda$  ( $\Delta d = \delta - \delta_0$ ).

Când punctul  $P$  se deplasează pe  $\Sigma$ ,  $\Delta d$  variază, trecând prin valorile  $\lambda/2, 2\cdot\lambda/2, 3\cdot\lambda/2, \dots, k\cdot\lambda/2$ , pentru care  $E$  este defazat față de  $E_0$  cu  $\pi, 2\pi, 3\pi, \dots, k\pi$  (evident, pentru valori intermediare ale  $\Delta d$  defazajul are valori intermediare ale fazei).

Fie  $P_{\lambda/2}, P_{2\lambda/2}, \dots, P_{k\lambda/2}$  punctele de pe un front de undă pentru care defazajele sunt  $\pi, 2\pi, 3\pi, \dots, k\pi$ . Evident, pe o suprafață de undă sferică, punctele  $P_{\lambda/2}, P_{2\lambda/2}, \dots, P_{k\lambda/2}$  se află pe cercuri. Când frontul de undă se deplasează dinspre  $S$  spre  $R$ , punctele  $P_{\lambda/2}, P_{2\lambda/2}, \dots, P_{k\lambda/2}$  descriu suprafețe (fiecare se află pe câte o suprafață loc geometric). Pentru a determina forma acestor suprafețe, se va observa că

$\Delta d = PR - PR_0 = (SP + PR) - (SP_0 + PR_0)$ , deoarece  $SP = SP_0$ .

Notând  $d = SR = SP_0 + P_0R$ , se obține  $\Delta d = SP + PR - d$  sau:

$$SP + PR = k \frac{\lambda}{2} + d, \quad k = 1, 2, 3 \dots \quad (6.55)$$

A rezultat că locul geometric al punctelor (de pe fronturi succesive) care realizează în receptor același defazaj ( $k = \text{const.}$ ) realizează suma distanțelor la două puncte fixe constantă deci este un elipsoid – în secțiune plană o elipsă (fig. 6.25), cu focarele în  $S$  și  $R$ . Elipsoizii se numesc *elipsoizi Fresnel* iar secțiunile *elipse Fresnel*. Evident, pentru fiecare valoare  $k$  există câte un elipsoid Fresnel.

Caracteristicile elipsoizilor Fresnel sunt:

- distanța focală:  $c = d/2$ ;
- semiaxa mare:  $a = d/4 + k\lambda/2$  ( $k\lambda/2 + d = SA + RA = SO + OA + RA = d/2 + a + a - d/2$ )
- semiaxa mică:  $b = \sqrt{kd\lambda}/2$  ( $b^2 = a^2 - c^2 = (d/2 + k\lambda/4)^2 - d^2/4 = kd\lambda/4 + k^2\lambda^2/16 \approx kd\lambda/4$ )

Pentru calculul câmpului rezultant trebuie să se sumeze contribuțiile fiecărui punct de pe suprafețele de undă, operație dificilă. Simplificări mari se obțin folosind elipsoizii Fresnel și o serie de simplificări.

Pentru fiecare  $k$  se poate trasa un elipsoid – se obține o familie de elipsoizi, ca în fig. 6.26.a. Intersecția acestei familii cu o suprafață de undă  $\Sigma$  determină cercuri și între ele suprafețe inelare (numai în jurul axei  $SR$  este un disc). Având în vedere distanța mare dintre  $S$  și  $R$ , fronturile pot fi considerate plane (vezi și §6.1.1) iar rezultatul intersecție este ca în fig. 6.26.b.

Se va aprecia contribuția la rezultanta din  $R$  a diverselor puncte de pe suprafețele de undă.

Contribuțiile undelor provenite din punctele de pe inelele dintre cercuri depind de defazaj, care variază de la  $k\pi$  la  $(2k - 1)\pi$ , generând oscilații în fază și în antifază a căror sumă poate fi neglijată. Ca urmare, în calculul oscilației rezultante se poate lua în considerare numai contribuția undelor provenite din punctele de pe cercurile rezultate din intersecțiile elipsoizilor cu frontul.

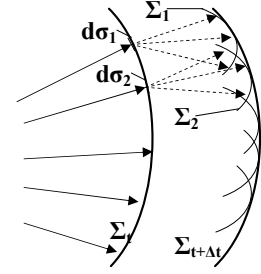


Fig. 6.24. Propagarea undelor

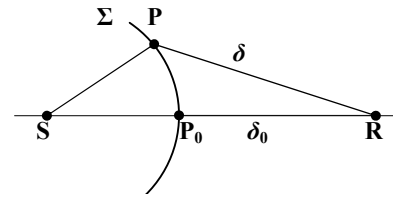


Fig. 6.24. Oscilația rezultantă în  $R$  din sursele elementare  $P_0$  și  $P$

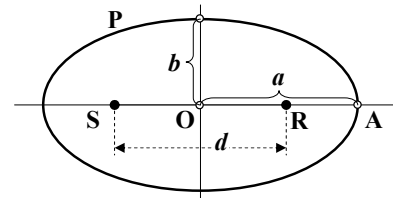


Fig. 6.25. Elipsă Fresnel

Evident, dacă  $E_1, E_2, \dots, E_k$  sunt câmpurile (amplitudini) create de undele de pe cercurile cu  $k = 1, 2, \dots, k$ , ținând seama de defazaj, câmpul rezultat este:

$$E_0 = E_1 - E_2 + E_3 - E_4 + \dots$$

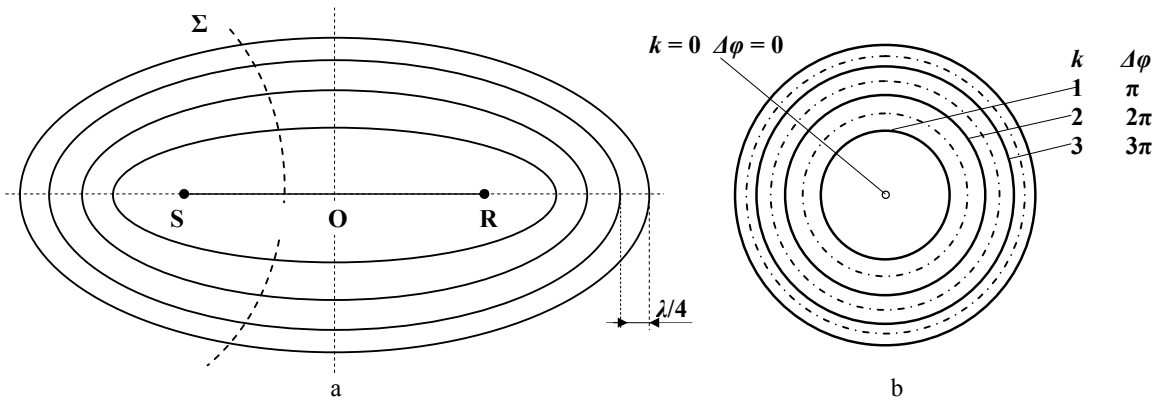


Fig. 6.26. Familie de elipse Fresnel (a) și intersecțiile elipsoizilor cu o suprafață de undă  $\Sigma$  (b)

Pe măsură ce  $k$  crește, distanța dintre punctele generatoare de unde de pe front și  $R$  crește, deci amplitudinea oscilației create scade. Scăderea este lentă și cu o bună aproximație se poate considera că scăderea relativă este aceeași, adică:  $\Delta E_k / E_k = (E_k - E_{k-1}) / E_k = \varepsilon$  ( $\varepsilon$  mic, constant).

Rezultă  $E_{k-1} = E_k(1 - \varepsilon)$  și suma devine:

$$E_0 = E_1 [1 - (1 - \varepsilon) + (1 - \varepsilon)^2 - (1 - \varepsilon)^3 + \dots] = E_1 [1 + (\varepsilon - 1) + (\varepsilon - 1)^2 + (\varepsilon - 1)^3 + \dots],$$

o serie geometrică cu rația  $(\varepsilon - 1)$  a cărei sumă este:

$$E_0 = \frac{E_1}{1 + (1 - \varepsilon)} \approx E_1/2 \quad (\varepsilon \ll 1) \quad (6.56)$$

În concluzie, câmpul rezultat în  $R$  este  $1/2$  din contribuția primului elipsoid<sup>1</sup>, în ipoteza că propagarea se face în spațiu liber și toți elipsoizii contribuie la câmpul rezultat (sunt deschiși).

### Câmpul rezultat în prezența obstacolelor

În sine, calculul de mai sus nu prea util. Utilitatea apare când se pune problema efectelor reflexiilor și a obstacolelor cauzatoare de difracție, fenomene imposibil de neglijat în condiții reale.

Se va calcula câmpul rezultat când perpendicular pe axa  $SR$  se află un ecran infinit cu deschidere circulară centrată pe axă și diametru  $D$  reglabil (diafragmă, fantă circulară) - fig. 6.27.

Pe măsură ce diametrul diafragmei crește, intensitatea câmpului în  $R$  crește până la degajarea completă a primului elipsoid când se obține amplitudinea rezultantă  $E_0 = E_1$ . Crescând diametrul diafragmei câmpul rezultat scade până la un minim când este complet degajat și al doilea elipsoid:  $E_0 = E_1 - E_2 = \varepsilon \cdot E_1$ . Rezultatul este o variație a amplitudinii oscilației rezultante, cu maxime și minime, pe măsura degajării de noi elipsoizi; nivelele tind spre limita  $E_1/2$  când toți elipsoizii sunt degajați. Dacă ecranul este plasat la mijlocul distanței dintre  $S$  și  $R$ , elipsoizii sunt degajați când diametrul diafragmei devine egal cu dublul semiaxei mici a elipsoizilor. Maximele și

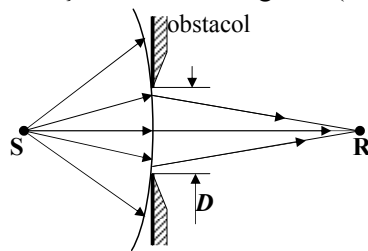


Fig. 6.27. Obstacol cu diafragmă pentru obtinerea elipsoizilor Fresnel

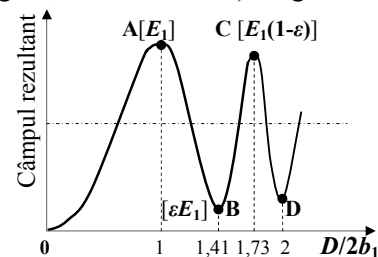


Fig. 6.28. Câmpul recepționat la degajarea treptată a elipsoizilor

<sup>1</sup> Acesta este rezultatul calculului exact, prin integrarea contribuției tuturor punctelor de pe frontul de undă sferic.

minimele apar la diametrele:  $D_1 = 2b_1 = \sqrt{d\lambda}/2$ ;  $D_2 = 2b_2 = \sqrt{2d\lambda}/2 = D_1/\sqrt{2}$ ;  $D_3 = D_1/\sqrt{3} \dots$  ca în fig. 6.28.

Se consideră acum că obstacolul este un semiplan infinit, plasat perpendicular pe axa  $SR$ , a cărei margine se deplasează deschizând treptat elipsoizii - fig. 6.29. Dacă  $h = 0$ , numai jumătate din punctele frontului de undă contribuie la câmpul rezultat, deci  $E_0 = E_1/4$ . Pe măsura degajării de noi elipsoizi ( $h > 0$ ) apare variația câmpului rezultat asemănătoare celei din fig. 6.28. Dacă marginea obstacolului este "deasupra" axei  $SR$  ( $h < 0$ ), câmpul rezultat scade uniform cu creșterea  $h$  spre zero (la obturație totală).

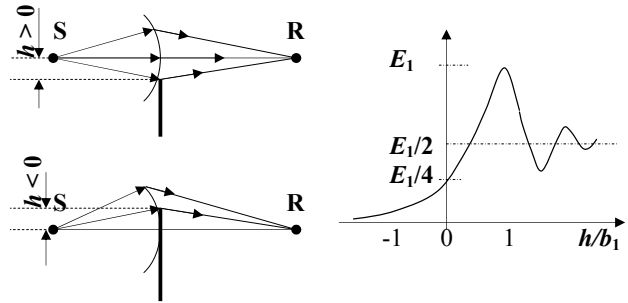


Fig. 6.29. Câmpul rezultat în cazul obstacolului semiplan

Un obstacol semiplan poate fi un munte, un deal, ... Din cauza schimbării condițiilor de propagare (temperatură, umiditate, ...) se modifică imprevizibil indicele de refracție și deci traiectul real al UEM. Ca urmare, dacă numai un elipsoid este liber, pot apare schimbări lente dar importante ale câmpului rezultat. Astfel, este recomandabil să fie liberi cât mai mulți elipsoizi, cel puțin doi.

#### Determinarea degajării elipsoizilor

Cunoscând traseul liniei de radioreleu (§6.6.3) se cunoaște poziția obstacolului  $MP$  față de punctele  $S$  și  $R$  ale tronsonului. În consecință, prima operație după alegerea traseului constă în verificarea degajării elipsoizilor. Aceasta constă de fapt în determinarea ordonatei (deschiderii) elipsoizilor, adică a distanțelor  $\rho_1, \rho_2, \dots$  în funcție de poziția față de  $S$  și  $R$ .

Fie primul elipsoid - fig. 6.30 și punctul  $P$  a cărui ordonată trebuie determinată în funcție de  $d_1$  și  $d_6$ .

Din fig. 6.30:  $SP + PR = d + \lambda/2$  sau

$$\sqrt{d_1^2 + \rho^2} + \sqrt{d_2^2 + \rho^2} = d + \lambda/2; \quad d_1\sqrt{1 + \rho^2/d_1^2} + d_2\sqrt{1 + \rho^2/d_2^2} = d + \lambda/2$$

Deoarece  $\rho/d_1 \ll 1$  și  $\rho/d_2 \ll 1$ , se dezvoltă în serie și rezultă:

$$d_1\left(1 + \frac{\rho^2}{2d_1^2}\right) + d_2\left(1 + \frac{\rho^2}{2d_2^2}\right) = d + \frac{\lambda}{2} \quad \text{sau} \quad \rho^2\left(\frac{1}{d_1^2} + \frac{1}{d_2^2}\right) = \lambda \quad \text{Rezultă:}$$

$$\rho = \sqrt{\frac{\lambda d_1 d_2}{d}} = \sqrt{\lambda\left(d_1 - \frac{d_1^2}{d}\right)} \quad (6.57)$$

Analog, pentru un elipsoid de ordin  $k$ :

$$\rho = \sqrt{\frac{k\lambda d_1 d_2}{d}} = \sqrt{k\lambda\left(d_1 - \frac{d_1^2}{d}\right)} \quad (6.58)$$

Se reamintește că semiaxele elipsoidului de ordin  $k$  sunt:

$$a = \frac{d}{2} + k\frac{\lambda}{4}; \quad b = \frac{\sqrt{k d \lambda}}{2} \quad (6.59)$$

Se va observa că pentru domeniul GHz utilizat în SRR, cel puțin primii elipsoizi sunt foarte alungiți:  $\frac{a}{b} = \sqrt{\frac{d}{k\lambda}} + \frac{1}{2}\sqrt{\frac{\lambda}{d}} \approx \sqrt{\frac{d}{k\lambda}} \gg 1$ .

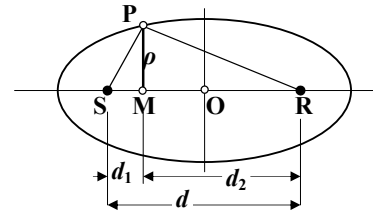


Fig. 6.30. Determinarea ordonatei punctelor pe primul elipsoid

În discuțiile de mai sus s-a neglijat efectul directivității antenelor. În realitate, antenele sunt foarte directive având deschideri ( $\theta_0$ , §6.6.1) de obicei sub  $0,5^\circ$ , rareori între  $0,5^\circ$  și  $1^\circ$ . Aceasta înseamnă că practic energia este emisă într-un *con de radiație* cu unghiuri de deschidere  $\theta \approx 1^\circ$ . La o distanță  $d_1$  de emițător, cota  $r$  este  $r = d_1 \operatorname{tg} \theta \approx d_1 \operatorname{tg}(0,5^\circ) = 8,7 \cdot 10^{-3} d_1$ . Ținând seama de (6.59), raportul *semiaxă mică - cotă*  $b/r$  rezultă:

$$\frac{b}{r} = \frac{\sqrt{kd\lambda}}{2 \cdot 8,7 \cdot 10^{-3} d_1} \approx 57,5 \frac{\sqrt{kd\lambda}}{d_1}.$$

În gama 2 – 12GHz,  $\lambda = 0,15 - 0,025\text{m}$ , presupunând  $d_1 = d/2$  și  $d = 50 \dots 120\text{km}$ , se obține  $r/b = (5 \dots 20)/\sqrt{k}$ , ceea ce înseamnă că un con de radiație cuprinde cel puțin 25 de elipsoizi.

În concluzie, discuția pe baza teoriei Fresnel este perfect aplicabilă, cel puțin pentru primii 5 – 10 elipsoizi.

Teoria elipsoizilor Fresnel este aplicabilă și pentru studiul efectelor reflexiilor.

Contribuția reflexiilor la câmpul rezultat se poate calcula determinând intersecțiile primilor elipsoizi cu suprafața Pământului. Având în vedere forma foarte alungită a elipsoizilor, se poate considera suprafața Pământului plană în zona de reflexie; unda reflectată poate fi considerată ca generată de antena – imagine – fig. 6.36.

Deoarece primii 3 – 5 elipsoizi au cea mai mare contribuție la câmpul rezultat, este recomandabil ca antenele emisivă să fie orientate astfel încât, cel puțin pentru aceștia, domeniile de reflexie să aibă proprietăți de reflexie proaste, adică să nu fie suprafețe umede, ape, câmpii nisipoase etc.

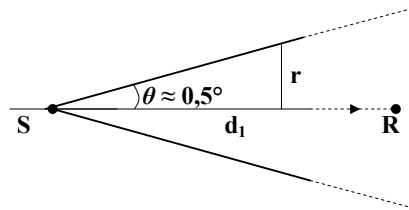


Fig. 6.31. Secțiune prin conul de radiație

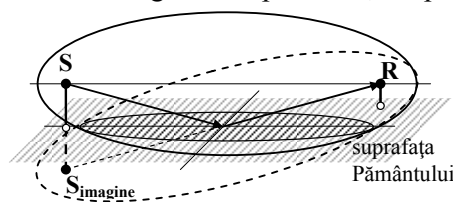


Fig. 6.36. Elipsoidul Fresnel al unde reflectate

## 6.2.5. Variația nivelului recepționat. Recepția cu diversitate

### 6.2.5.1. Variația nivelului semnalului recepționat

Nivelul semnalului recepționat, intensitatea câmpului electric la receptor, variază deoarece se modifică condițiile de propagare ale UEM în mediu.

În funcție de amplitudinea și durata variațiilor câmpului recepționat, se disting mai multe situații:

- Câmpul recepționat variază puțin (câțiva **dB**) și destul de rapid (variațiile durează secunde) față de o valoare medie apropiată de ce s-ar obține la propagarea în spațiu complet liber și atmosferă standard ideală. Aceasta se întâmplă la propagarea în atmosferă standard, stabilă, favorizată de temperatură joasă (iarna), vânt, ..., factori care uniformizează atmosfera în preajma solului.
- Câmpul recepționat variază mult (**15 - 30dB**) și lent (variațiile durează minute ... ore) față de o valoare medie apropiată de valoarea ideală. Aceasta se întâmplă la propagarea în atmosferă substandard, pe traiecte cu puțini elipsoizi degajați.
- Câmpul recepționat variază foarte mult (**30 - 40dB**) față de valoarea medie iar variațiile durează secunde ... minute. Asemenea variații apar seara și dimineața, vara, pe timp senin, fără vânt, datorită formării de straturi de aer cu temperatură variabilă.

Pentru o explicație măcar calitativă a proceselor, variațiile de nivel la recepție se împart în:

- *variații primare*, cu amplitudini mari, determinante în nivelul semnalului recepționat și

- *variații secundare*, al căror efect se face simțit în timpul unor variații primare profunde (peste **10 – 15dB**) și care pot reduce nivelul cu **30 – 50dB** sub valoarea medie.

**Variațiile de nivel primare** se datorează *absorbțiilor și interferențelor* de pe traiect.

- Absorbția energiei EM în mediu introduce o *atenuare suplimentară de absorbție*  $a_{sa}$ . Aceasta e datorată în special umidității, mai ales ceații și ploilor și se modifică în funcție de condițiile meteorologice. Variația atenuărilor suplimentare este aleatorie, calculele sunt foarte imprecise și ca urmare, este recoman-

dabilă folosirea curbelor experimentale recomandate de CCIR (Raport 388 vol. II, și 205-1 vol IV, Oslo, 1966). Pentru *atenuările suplimentare de absorbție* se indică valorile atenuării specifice adică atenuarea pe **1km** lungime, în funcție de tipul ploii și ceații, la diferite frecvențe – fig. 6.34. (De exemplu, la **6GHz**, pe un tronson de **50km**, în condiții de ploaie medie se introduce o atenuare de absorbție de circa  $50 \cdot 0,15 = 7,5\text{dB}$ .)

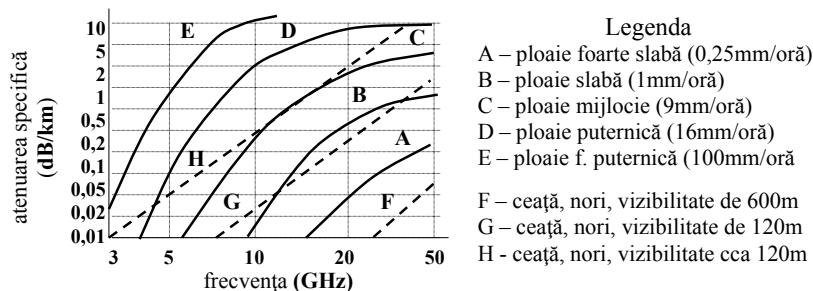


Fig. 6.34. Atenuarea specifică datorată ploii și ceații

- Interferențele datorate reflexiilor determină variații de nivel recepționat care apar sub forma unei *atenuări suplimentare de interferență*  $a_{si}$ . Această atenuare variază aleator datorită modifi-

cării indicelui de refracție și coeficientului de reflexie (în modul și fază). Calculul fiind dificil și nesigur, cel puțin în primă etapă folosesc curbe date pentru diferite frecvențe, reprezentând procentul de timp în care atenuarea de pe ordonată nu este depășită în funcție de distanță – fig. 6.36. (De exemplu, la **6GHz**, pe un tronson de **100km**,  $a_{si}$  depășește **25dB** un procent de timp de cca. **0,1%**; altfel spus, **99,9%** din timpul de funcționare  $a_{si} < 25\text{dB}$ .)

Trebuie remarcat că atenuarea de interferență este selectivă, afectând oscilațiile într-o bandă îngustă de frecvențe.

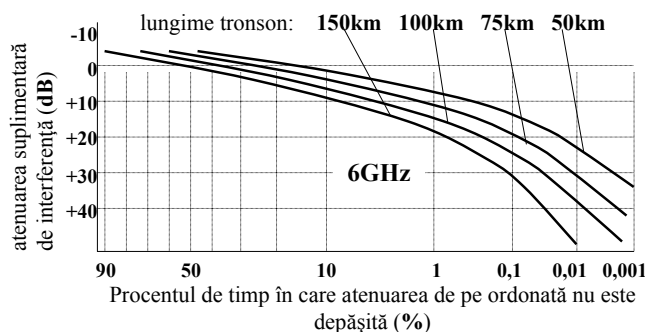


Fig. 6.36. Atenuarea suplimentară de interferență pentru lungimi diferite de tronson

**Variațiile de nivel secundare** se datorează interferențelor dintre unda directă (eventual compusă cu reflectata principală) cu unde secundare provenite din reflexii multiple, difracții și difuzii în atmosferă turbulentă. Aceste componente secundare au amplitudini de **x10** ori mai mici decât cele principale și în mod normal nu influențează nivelul recepției. Când însă nivelul câmpului principal scade mult (**10 ... 20dB** sub valoarea normală) și ajunge comparabil cu al câmpurilor secundare, efectele pot fi importante, determinând reduceri de nivel de **30 – 50dB**.

Pentru a nu mări peste măsură puterile de emisie, trebuie acceptate înrăutățiri ale recepției pe durate acceptabile, trebuie rotite antenele (fig. 6.15) sau trebuie folosită *recepția cu diversitate*.

### 6.2.5.2. Recepția cu diversitate

Pentru creșterea imunității la variația condițiilor de propagare se poate recurge la modificări în orientarea antenelor (§6.6.1, fig. 6.15) sau la *recepția cu diversitate*, care constă în recepționarea a cel puțin două semnale care suportă influența mediului în mod diferit, variind diferit în timp; sumând semnalele sau comutând pe cel mai mare, se compensează atenuările suplimentare variabile.

Diversitatea se poate realiza *în spațiu* sau *în frecvență*:

1. *Diversitate spațială* se face cu două antene plasate în câmpul emițătorului în puncte diferite. Antenele trebuie să fie suficient de îndepărtate una de alta pentru ca câmpurile recepționate să varieze independent. Empiric, se recomandă ca distanța dintre antene să fie cel puțin  $150\lambda$ . Din motive economice, antenele sunt montate pe același pylon, la înălțimi diferite
2. *Diversitate în frecvență* presupune efectuarea transmisiei pe două frecvențe diferite recepționate cu aceeași antenă.

**Diversitatea în spațiu** se realizează amplasând două antene de recepție pe același pylon la înălțimi diferite:  $R_1$  - principală și  $R_2$  - secundară. Situația poate fi schematizată folosind reprezentarea față de parabola de referință (§6.6.3) ca în fig. 6.35 (pentru simplificare, înălțimile antenelor emisivă și de recepție  $R_1$  se consideră egale).

Problema constă în determinarea *supraînălțării*  $\delta h$  necesară pentru compensarea reducerii nivelului câmpului recepționat când se modifică condițiile de propagare, deci când se modifică indicele troposferic  $K$ .

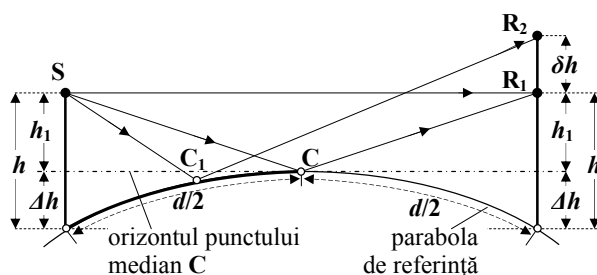


Fig. 6.35. Recepția cu diversitate spațială

Raportând la orizontul punctului median, interferențele se discută ca în cazul Pământului plan (§6.6.1).

În cazul reflexiilor cauzate de undele provenite de la primul elipsoid Fresnel, conform discuției din §6.6.1, cu înălțimile corectate  $h_1$ , luând oscilațiile produse de undele directe ca origine de fază, se determină fazele undelor reflectate:

- în  $R_1$ , în ipoteza defavorabilă  $\beta = \pi$ , defazajul reflectatei este:

$$\varphi_1 = \beta + 2\pi \frac{\Delta d}{\lambda} = \pi + 2\pi \frac{2h_1^2}{\lambda d} \quad (6.60.a)$$

- în  $R_2$ , în ipoteza defavorabilă  $\beta = \pi$ , considerând că  $\delta h$  este suficient de mic pentru ca  $C_1$  și  $C$  practic să se confunde, defazajul reflectatei este:

$$\varphi_2 = \beta + 2\pi \frac{\Delta d_2}{\lambda} = \pi + 2\pi \frac{2h_1(h_1 + \delta h)}{\lambda d} = \pi + 2\pi \frac{2h_1^2}{\lambda d} + 2\pi \frac{2h_1\delta h}{\lambda d} = \varphi_1 + 2\pi \frac{2h_1\delta h}{\lambda d} \quad (6.60.b)$$

Semiaxa mică a primului elipsoid Fresnel, după (6.59), este  $b_1 = \sqrt{d\lambda}/2$  și înlocuind în (6.60), fazele undelor reflectate în  $R_1$  și  $R_2$  rezultă:

$$\varphi_1 = \beta + \pi \left( \frac{h_1}{b_1} \right)^2; \quad \varphi_2 = \varphi_1 + \pi \frac{h_1}{b_1} \frac{\delta h}{b_1}; \quad \Delta\varphi = \varphi_1 - \varphi_2 = \pi \frac{h_1}{b_1} \frac{\delta h}{b_1} \quad (6.61)$$

Când se modifică condițiile atmosferice se modifică indicele troposferic  $K$  (§6.6.2) și se modifică  $R_{pech}$ . Când  $K$  crește, crește  $R_{pech}$  iar  $\Delta h$  scade – parabola de referință se aplatizează și ca urmare,  $h_1$  cresc și se degajează mai mulți elipsoizi Fresnel pe traiectul  $ER_1$ .

Pentru cea mai mică valoare observată a indicelui troposferic  $K_{min}$  (obișnuit  $K_{min} = 0,8$ ) se

obține cea mai mică valoare a înălțimilor corectate  $h_1$ . Se presupune că pentru valoarea minimă a lui  $K_{\min}$  (se admite  $K_{\min} = 0.8$ ) primul elipsoid este tangent la suprafața Pământului, adică  $h_{1K_{\min}} = b_1$ .

Pe de altă parte, înălțimile antenelor ( $h$ ) nu se modifică. Pentru un indice oarecare  $K$ :

$$h = h_{1K_{\min}} + \Delta h_{K_{\min}} = h_{1K} + \Delta h_K; \quad h_{1K} = h_{1K_{\min}} + \Delta h_{K_{\min}} - \Delta h_K$$

Tinând seama de (6.54), în care în locul “ $d$ ” se introduce “ $d/2$ ” (a se compara fig. 6.21 cu fig. 6.35), rezultă:

$$h_{1K} = h_{1K_{\min}} + \frac{(d/2)^2}{2R_{p0}} \left( \frac{1}{K_{\min}} - \frac{1}{K} \right); \quad \frac{h_{1K}}{b_1} = 1 + \frac{(d/2)^2}{2R_{p0}b_1} \left( \frac{1}{K_{\min}} - \frac{1}{K} \right) \text{ și}$$

$$\frac{h_{1K}}{b_k} = \frac{h_{1K}}{\sqrt{k}b_1} = \frac{1}{\sqrt{k}} \left[ 1 + \frac{(d/2)^2}{2R_{p0}b_1} \left( \frac{1}{K_{\min}} - \frac{1}{K} \right) \right]$$

Evident, în general  $h_{1K}$  nu coincide cu lungimea semiaxei mici a unui elipsoid de ordin  $k$  ( $b_k = b = \sqrt{k}b_1$ ). Se presupune că indicele  $K$  are o asemenea valoare încât elipsoidul de ordin  $k$  este tangent suprafeței Pământului, adică  $h_{1K} = b_k$ . Ordinul  $k$  pentru care se întâmplă aceasta este:

$$\sqrt{k} = 1 + \frac{(d/2)^2}{2R_{p0}b_1} \left( \frac{1}{K_{\min}} - \frac{1}{K} \right) \quad (k - \text{intreg}) \quad (6.62)$$

Raționamentul care a condus la relațiile (6.61) pentru primul elipsoid, se aplică și în cazul elipsoizilor de ordin  $k$ ; rezultă că defazațele undelor reflectate față de cele directe (provenite de la elipsoidul de ordin  $k$ ) se pot scrie, pentru  $R_1$  și  $R_2$ :

$$\varphi_{1k} = \beta + \pi \left( \frac{h_{1k}}{b_1} \right)^2; \quad \varphi_{2k} = \varphi_{1k} + \pi \frac{h_{1k}}{b_1} \frac{\delta h}{b_1}; \quad \Delta\varphi_k = \varphi_{1k} - \varphi_{2k} = \pi \frac{h_{1k}}{b_1} \frac{\delta h}{b_1}; \quad \text{cu } h_{1k} = b_k = \sqrt{k}b_1$$

$$\varphi_{1k} = \beta + k\pi; \quad \varphi_{2k} = \varphi_{1k} + \sqrt{k}\pi \frac{\delta h}{b_1}; \quad \Delta\varphi_k = \varphi_{1k} - \varphi_{2k} = \sqrt{k}\pi \frac{\delta h}{b_1} \quad (6.63)$$

Pentru receptorul principal ( $R_1$ ) cazul cel mai defavorabil este atunci când  $\beta = \pi$  (discuția premergătoare rel. (6.41)) iar unda directă și cea reflectată sunt în antifază, deci când  $\varphi_{1k}$  este un număr impar de  $\pi$ . Aceasta se întâmplă pentru  $k = 2, 4, 6, \dots$  par. Evident, în acest caz este de dorit ca în receptorul secundar  $R_2$  oscilațiile să fie în fază, adică  $\varphi_{2k}$  din (6.63) să fie un număr par de  $\pi$ , ceea ce impune  $\Delta\varphi_k =$  număr impar de  $\pi$ . Cea mai potrivită valoare este chiar  $\pi$  deoarece asigură supraînălțare minimă, deci:

$$\Delta\varphi_k = \sqrt{k}\pi \frac{\delta h}{b_1} = \pi \quad (6.64)$$

$$\delta h = \frac{b_1}{\sqrt{k}} \quad (k = \text{par})$$

În practică, relația (6.64) se folosește astfel:

- cunoscând  $d$  și  $\lambda$ , se calculează  $b_1$ ;
- se adoptă  $K_{\min}$  (poate fi **0.8**) și se apreciază valoarea cea mai probabilă pentru  $K$ ;

- se calculează membrul doi din (6.62)  $m = 1 + \frac{(d/2)^2}{2R_{p0}b_1} \left( \frac{1}{K_{\min}} - \frac{1}{K} \right)$  și se adoptă  $k$  la valoarea pară cea mai apropiată de  $m^2$ ;

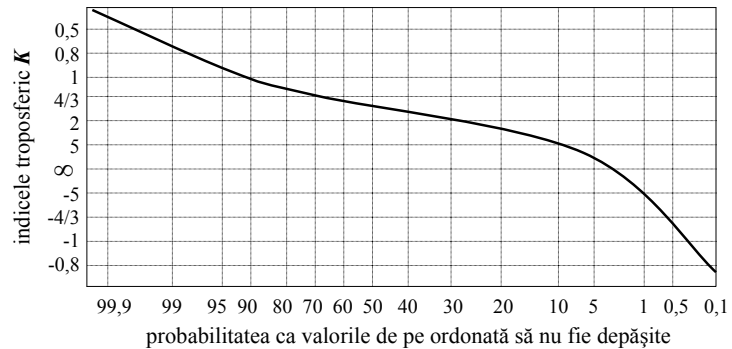


Fig. 6.36. Valorile probabile ale indicelui troposferic  $K$

- se calculează  $\delta h$  cu (6.64) cu  $k$  determinat mai sus.

De exemplu, pentru  $d = 100\text{km}$ ,  $f = 4\text{GHz}$ ,  $K_{\min} = 0.8$  și  $K = 4/3$ , rezultă:  $\lambda = 7.5\text{cm}$ ,  $b_1 = 30.62\text{m}$ ,  $m^2 = 6.276$ ,  $k = 4$ , deci  $\delta h = 15.31\text{m}$ ; pentru  $K = 4$  se obține  $k = 6$  și  $\delta h = 12.50\text{m}$ .

**Diversitatea în frecvență** se realizează folosind o singură antenă de recepție și două frecvențe de transmisie  $f_1$  și  $f_2 = f_1 + \delta f$  cărora le corespund lungimile de undă  $\lambda_1$  și  $\lambda_2$ .

În acest caz, defazajele undelor reflectate față de cele directe sunt, după (6.60):

$$\varphi_1 = \beta + 2\pi \frac{\Delta d}{\lambda_1} = \pi + 4\pi \frac{h_1^2}{\lambda_1 d}, \quad \varphi_2 = \beta + 2\pi \frac{\Delta d}{\lambda_2} = \pi + 4\pi \frac{h_1^2}{\lambda_2 d} \quad (6.65)$$

Defazajele undelor, în funcție de semiaxa primului elipsoid Fresnel al undei cu frecvența  $f_1$  (principală)  $b_1 = \sqrt{d\lambda_1}/2$ , când acesta este tangent suprafeței solului, se pot scrie:

$$\varphi_1 = \pi + \pi \left( \frac{h_1}{b_1} \right)^2, \quad \varphi_2 = \pi + \pi \left( \frac{h_1}{b_1} \right)^2 \frac{\lambda_1}{\lambda_2} = \pi + \pi \left( \frac{h_1}{b_1} \right)^2 \frac{f_2}{f_1} = \pi + \pi \left( \frac{h_1}{b_1} \right)^2 \left( 1 + \frac{\delta f}{f_1} \right)$$

Diferența defazajelor:

$$\Delta\varphi = \varphi_2 - \varphi_1 = \pi \left( \frac{h_1}{b_1} \right)^2 \frac{\delta f}{f_1} = \pi \frac{h_1}{b_1} \cdot \frac{h_1}{b_1} \frac{\delta f}{f_1} \quad (6.66)$$

Comparând (6.66) cu (6.61) se observă că diversitatea în frecvență se reduce la diversitatea în spațiu dacă se înlocuiește  $\delta h/b_1$  cu  $h_1 \delta f / b_1 f_1$ . Operând această înlocuire în (6.64) se obține diferența defazajelor undelor elipsoidului de ordin  $k$  tangent suprafeței; această diferență trebuie să fie  $\pi$  pentru ca, atunci când pentru unda cu  $f_1$  se obține minim de interferență, pentru unda cu  $f_2$  să fie un maxim. Așadar:

$$\Delta\varphi_k = \sqrt{k}\pi \frac{h_1 \delta f}{b_1 f_1} = \sqrt{k}\pi \sqrt{k} \frac{\delta f}{f_1} = \pi$$

În final rezultă diferența relativă a frecvențelor:

$$\frac{\delta f}{f_1} = \frac{1}{k} \quad (6.67)$$

Ordinul  $k$  al elipsoidului tangent la suprafață pentru un indice troposferic  $K$  este dat de (6.62) iar utilizarea relațiilor (6.67) și (6.62) se face după procedura indicată pentru diversitatea în spațiu:

- cunoscând  $d$  și  $\lambda_1$ , se calculează  $b_1$ ;
- se adoptă  $K_{\min}$  (poate fi **0.8**) și se apreciază valoarea cea mai probabilă pentru  $K$ ;
- se calculează membrul doi din (6.62)  $m = 1 + \frac{(d/2)^2}{2R_{p0} b_1} \left( \frac{1}{K_{\min}} - \frac{1}{K} \right)$  și se adoptă  $k$  la valoarea pară cea mai apropiată de  $m^2$ ;
- cu (6.67) și  $k$  determinat mai sus, se calculează  $\delta f/f_1$ .

Considerând exemplul de mai sus, pentru  $d = 100\text{km}$ ,  $f = 4\text{GHz}$ ,  $\lambda = 7.5\text{cm}$ ,  $b_1 = 30.62\text{m}$ , cu  $K_{\min} = 0.8$  și  $K = 4/3$ , rezultă:  $m^2 = 6.276$ ,  $k = 4$ , și deci  $\delta f/f_1 = 1/4$  o valoare inacceptabil de mare. Pentru  $\delta f/f_1$  mai mici trebuie considerați indici troposferici  $K$  mai mari (pentru  $K = 8$  se obține  $k = 8$  și  $\delta f/f_1 = 1/8$  o valoare încă mică) care însă se realizează cu probabilitate mai mică (fig. 6.36).